

## Tonotopic mapping of vowel space in the auditory cortex

Abbas Nasri<sup>1\*</sup>  & Gholamhossein Karimidoustan<sup>2</sup> 

Vol. 14, No. 2, Tome 74  
pp. 401-428  
May & June 2023

### Abstract

Localization of the different stages of auditory processing is among the most hotly debated topics in neurolinguistic researches and there has been a strong emphasis on the role of two sub-areas of the auditory cortex -namely the primary auditory cortex (A1) and superior temporal gyrus (STG)- as the source of sensory analysis and preliminary cognitive processing of the auditory input. This study intends to explore spatial correlates of neural processing of the Persian vowels. Then to exploit that information to shed some light on the contents of the cognitive procedures attributed to different areas of the auditory cortex. To achieve such a goal, we employed electroencephalography to map the Persian vowel system onto cortical sources using the N1 auditory evoked potential and its subcomponents N1a and N1b. The resulting source analysis of the obtained data revealed that the spatial coordinates of both neural clusters that induce early and late subcomponents of the N1 for each vowel were better correlated to the distinctive features of the respective vowel than to its acoustic properties. Such results support the claim that contrary to the former conception of the auditory processing procedures, the A1 is not exclusive to the sensory analysis and that the categorical recognition commences at an earlier stage than formerly understood.

**Keywords:** auditory cortex, neurology of language, distinctive feature, electroencephalography, perceptual representation, vowel system.

Received: 22 June 2021  
Received in revised form: 11 September 2021  
Accepted: 3 October 2021

1. Corresponding Author: Ph.D. Candidate in General Linguistics, Department of General Linguistics, University of Tehran Tehran, Iran. Email: [a.nasri@ut.ac.ir](mailto:a.nasri@ut.ac.ir)  
2. Professor of General Linguistics, Department of General Linguistics, University of Tehran, Tehran, Iran.

## **1. Introduction**

How the human cognitive system encodes the acoustic signals into phonological representations is a fundamental question for the neurobiology of language, and the problem of determining the relationship between the input characteristics and the spatial coordinates of the source locations of the processing procedures remains a long lasting challenge. As the previous magnetoencephalographic studies have failed to achieve a consensual account of nature, location, and processing content ascribed to each progressive stage of auditory recognition of the vowels, the following paper is aimed to approach this problem through an investigation of the relationship between the phonological and phonetic properties of standard Persian simple vowels and the neurophysiological events corresponding to them using electroencephalographic techniques.

## **2. Literature review**

Past research in cognitive neuroscience has uncovered several one-, two- and three-dimensional maps in mammalian cortices that spatially parallel sensory dimensions in somatosensory, visual, and auditory perception (Ohl & Scheich, 1997; Romani et al. 1982). The tonotopic structure of the auditory cortex is well known and has been studied extensively in animals and humans (Romani et al., 1982). The frequency maps first appear at different levels from the cochlea through the ascending auditory pathways up to the cortex. Thus, tonotopy can be considered a fundamental principle of information processing in the auditory system. (Scharinger et al., 2011). Spatial coding schemes in neuroscience such as those mentioned above are particularly interesting when applied to speech perception because speech sounds relate acoustic and articulatory information (Stevens, 1998; Diehl, 1992). Brain mapping studies on speech sounds showed that their cortical representation conforms to tonotopic maps in the auditory cortex (Obleser et al. 2003a & b, 2004; Shestakova et al. 2004; Eulitz et al. 2004). Studies on the tonotopy of speech

sounds in the auditory cortex have focused on a dominant auditory evoked component, the N1, a negative vertex deflection in the electroencephalographic signal between 70 and 150 msec after stimulus onset (Manca et al. 2019) and its magneto-encephalographic equivalent, the N1m/M100 (Näätänen & Picton, 1987, Riedinger et al. 2021).

### **3. Materials and method**

Eighteen volunteers (9 women; mean age  $\pm$  SD:  $26.3 \pm 3.8$ ) participated in the experiment after providing written consent. The subjects were all native speakers of Persian, right-handed, and without any history of auditory, neurological, or any other significant health impairment. The participants were each presented four strings of auditory stimuli played successively at a random order with a random interval of 1400 to 1700 milliseconds. Each string consisted of 50 iterations of each six simple vowels of standard Persian as pronounced by a young-adult male native speaker at neutral tone plus 18 iterations of a 200 milliseconds long, 1KHz pure tone as distractor stimulus. They were asked to passively listen to the stimuli while the neurologic reactions of their cortices were being recorded via a 32-channel EEG cap with a standard 10-20 configuration and sample rate of 512Hz. The resulting signals were then cleared, processed, and analyzed into independent components through the ICA algorithm. The results then were statistically analyzed and used to examine the efficacy of a phonological estimator model based on discrete and abstract distinctive features of height and place of the vowels against an acoustic estimator model based on continuous physical landmarks (namely F1, F2, and F2-F1) in the spectral window of the acoustic signal.

### **4. Results**

The preliminary results revealed two distinctively induced subcomponents of the N1 inside the auditory area of the cortex. The earlier subcomponent of N1

(henceforth N1a) was observed to appear at latencies of around 113 to 149 milliseconds on both hemispheres after the onset of the stimulus, while the heavily left-leaning later sub-component (N1b) started to appear only as late as 135 to 170 milliseconds. Employing two modeling approaches (one discrete model based on binary and ternary distinctive phonetic features and another continuous model based on acoustics formants of the stimuli) also suggested that source coordinates of the neural responses corresponding to each type of Persian vowels are strongly related to their acoustics and phonologic properties.

### 5. Conclusion

The source location coordinates attested for N1a and N1b could be respectively attributed to the primary auditory cortex and superior temporal gyrus. Other than different general source area and temporal properties of N1 subcomponents, they also showed very distinct correlation patterns in respect to the acoustic and phonologic properties of the input. Thus, confirming that they are realizations of distinct neural processes. Furthermore, we found out that the phonological model was a better fit for the N1a data at every aspect, which puts forth an argument for the A1 being an epicenter of both sensory and categorical analysis of the auditory stimuli.

دانشکده علوم انسانی و مطالعات فرهنگی  
پردیس جامع علوم انسانی

## نقشه جای نواختی فضای واکه‌ای در قشر شنوایی مغز

عباس نصری<sup>\*</sup>، غلامحسین کریمی دوستان<sup>۲</sup>

۱. دانشجوی دکتری زبان‌شناسی همگانی، دانشگاه تهران، تهران، ایران.

۲. استاد گروه زبان‌شناسی همگانی، دانشگاه تهران، تهران، ایران.

تاریخ پذیرش: ۱۴۰۰/۰۷/۱۱

تاریخ دریافت: ۱۴۰۰/۰۴/۰۱

### چکیده

ویژه‌سپاری مراحل مختلف فرایند پردازش داده‌های صوتی و بهخصوص ادرارک واجی یکی از موضوعات پژوهشی بحث برانگیز در حوزه مطالعات زبان‌شناسی عصبی بوده است. در این میان دو ناحیه از قشر شنوایی یعنی قشر شنوایی اولیه و شکنج گیجگاهی فوقانی به عنوان محل پردازش‌های حسی و پردازش‌های مقدماتی شناختی اهمیت ویژه‌ای دارند. هدف پژوهش حاضر کشف همبسته‌های مکانی پردازش واکه‌های موجود در نظام واکه‌ای زبان فارسی و ترسیم نقشه سه‌بعدی خوش‌های عصبی منشأ پردازش هریک از این واکه‌هاست. در این مطالعه از هدجه نفر از گویشوران زبان فارسی خواسته شد تا به توالی‌هایی از واکه‌های ساده زبان فارسی با ترتیب تصادفی گوش کنند و همزمان پاسخ دستگاه عصبی آنان به شنیدن این واکه‌ها با استفاده از روش الکتروانسفالوگرافی ثبت شد. استفاده از روش دوقطبی‌های جریان معادل منشأ‌ایابی و رابطه مختصات منشأ هریک از واکه‌های مذکور در دستگاهی سه‌بعدی از یکسو با مشخصات طیفی صوت‌شناختی و ازسوی دیگر با ارزش‌های دو مشخصه انتزاعی واجی « محل تولید» و «ارتفاع زبان» سنجیده شد. بررسی و تحلیل نتایج به دست آمده از این آزمایش نشان می‌دهد برخلاف تحلیل‌های سابق، قشر شنوایی اولیه مغز به پردازش حسی اختصاص ندارد و بخشی از فرایند پردازش شناختی مبتنی بر مشخصه‌های انتزاعی تولیدی در همین ناحیه و قبل از انتقال بار پردازشی به شکنج گیجگاهی فوقانی آغاز می‌شود.

**واژه‌های کلیدی:** قشر شنوایی، مشخصه ممین، الکتروانسفالوگرافی، بازنمایی ادرارکی، نظام واکه‌ای.

## ۱. مقدمه

چگونگی نگاشت سیگنال‌های صوتی آوا به بازنمایی انتزاعی واجی یکی از پرسش‌های اصلی در حوزه واج‌شناسی عصبی است. باور رایج و مستند به پژوهش‌های مکرر در این حوزه بر این استوار است که پردازش حرکت‌های صوتی در مراحل مختلفی از رمزگشایی<sup>۱</sup> و یزدگی‌های فیزیکی حرکت تا ادراک آن به عنوان یکی از مقوله‌های آشنا و پیش‌شناخته در نظام آوایی - واجی زبان براساس برنامه زمانی مشخصی به ترتیب در نواحی ویژه‌ای از مغز انجام می‌شود که هر ناحیه مسئول بخشی از این فرایند پردازشی است.

مقاله پیش‌روی شما تلاشی است برای یافتن همبسته‌های مکانی پردازش عصبی فرایند ادراک واکه‌های زبان فارسی و بهره‌گیری از این یافته‌ها برای بررسی یزدگی‌های جای نواختی<sup>۲</sup> این پردازش در محدوده قشر شنوایی مغز انسان. هدف این پژوهش این است که با تعیین همبسته‌های مکانی منشأ تجمع‌های یاخته‌ای<sup>۳</sup> مرتبط با پردازش عصبی واکه‌های زبان فارسی در سه بعد و تفکیک اثر هریک از دو عامل مذکور اوّل، نقشه‌ای واجی - عصبی از فرایند پردازشی در قشر شنوایی مغز به دست آید که بازتابی از واقعیت عصب‌شناختی فرایند ادراک گفتار در مغز آدمی باشد و ثانیاً، با تفکیک همبسته‌های عصبی پردازش صوتی به دو زیرسازند متمایز با تأخیر زمانی متفاوت نسبت به آغاز سازه و تطبیق نقشه واجی عصبی مربوط به هر مرحله با دو مدل ریاضی مختلف (یک مدل پیوسته براساس بسامد سازه‌های صوتی در پنجره طیفی و دیگری مدلی گسسته براساس مشخصه‌های تولیدی چندارزشی) برای توصیف نظام واکه‌ای زبان اطلاعاتی درباره ماهیت و محتوای فرایند پردازشی در هریک از این مراحل به دست آید. پرسش اصلی پژوهش حاضر این است که «آیا واکه‌های مختلف واحد منشأ‌های پردازشی مختلف و قابل تفکیک در قشر شنوایی هستند؟ و اگر چنین است مختصات این منشأها در مراحل مختلف فرایند پردازش با مشخصات صوت‌شناختی و مشخصه‌های تولیدی واکه‌ها به چه ترتیبی همبستگی دارند؟». فرضیه ما برای پرسش مذکور این است که با بررسی امواج الکتریکی حاصل از پردازش حرکت‌های صوتی در مغز فارسی‌زبان مشخص خواهد شد که برخلاف پیش‌بینی دیدگاه سنتی علوم عصبی مبتنی بر اختصاص نواحی حسی اولیه به پردازش حسی صرف مختصات

خوشهای عصبی منشأ این امواج قابل تفکیک است و در همه مراحل پردازش (از جمله پردازش در قشر شنوایی اولیه) با هر دو دسته از مشخصات صوت‌شناسی و واچ‌شناسی هم‌بستگی دارد.

## ۲. پیشینهٔ پژوهش و چارچوب نظری

همانطور که در بخش قبل گفته شد باور رایج در حوزهٔ واچ‌شناسی عصبی مبتنی بر وجود یک جدول زمانی است که طبق آن پردازش داده‌های صوتی تدریجی و در تأخیرهای زمانی مختلف نسبت به آغاز حرکت به نواحی مختلفی از مغز سپرده می‌شود و در هریک از این نواحی پردازش‌های متفاوتی بر روی آن‌ها انجام می‌شود (دربارهٔ ویژگی‌های زمانی این برنامهٔ پردازشی و تظاهرات عصبی آن تک، نصری و کریمی‌دوستان، ۱۳۹۹)، این چارچوب نظری مبتنی بر سه «ویژگی» اساسی در برقراری تناظر بین فرایند‌های عصبی و کارکردهای ذهنی است: «فرایند پردازشی ویژه در زمان ویژه و در مکان ویژه». پرسش مرکزی مسیر پژوهشی‌ای که این مقاله نیز در امتداد آن تعریف شده این است که آیا با ریزتر شدن در پایهٔ اول این سه‌گانه می‌توان آن را به دو بخش تفکیک کرد به صورتی که بتوان گزارهٔ سابق را به صورت «فرایند پردازشی متناسب با مشخصات فیزیکی - مقوله‌ای محرك در زمان ویژه و در مکان ویژه» تصحیح کرد؟

پژوهش‌های پیشین در حوزهٔ علوم اعصاب به دستیابی به الگوهای یک، دو و سه بعدی مختلفی در قشر مخ منجر شده که هریک مرتبط با کارکرد یکی از اجزای دستگاه شناختی است؛ از جمله دستگاه حسی‌تنی<sup>۰</sup> (Pons et al., 1987; Tanrıverdi et al., 2009)، دستگاه بینایی (Hadjiikhani et al., 1998; Wandell et al., 2005) و دستگاه شنوایی (Romani et al., 2005; Schäringer et al., 2011; Ohl & Scheich, 1997; 1998 و Saenz & Langers, 2014). (Riedinger et al., 2021).

در قشر حسی‌تنی مغز، الگوی مذکور به صورت نگاشتی خطی از بدن به روی سطح مخ است که در آن هر ناحیه نمایندهٔ هریک از اعضای بدن است. در قشر بینایی، مراکز حوزه‌ای درکی نورونی ساختار توپوگرافیک حوزهٔ بینایی (تصویر قابی از جهان خارج که قرار است ادراک شود) را که بر روی شبکیه بازنمایی شده بر روی مراکز تجمع یاخته‌ای بازنمایی



خوشهایی از این مشخصه‌های ممیز اند که دو به دو در تقابل قطبی در ارزش یک یا چند مورد از این مشخصه‌ها قرار دارند. این تقابل‌ها برای شنووندۀ به وسیله تحلیل برجستگی‌های صوت‌شناسختی پیام مانند نقاط اوج نسبی در پنجره طیفی<sup>۷</sup> سیگال آن پیام (سازه‌های صوتی قابل رمزگشایی است. پژوهش‌های مختلف (Oblessier et al., 2003b; Manca et al., 2019; Shestakova et al., 2004 Mesgarani et al., 2004, 2014 Hicock & Poeppel, 2003, 2004 Scott & Johnsruude, 2009 Rauschecker 2009 & Scott, 2009) تأیید می‌کنند که فرایند رمزنگاری مکان‌محور بسامدهای محرک صوتی، از طریق تحریک اعصاب حلوونی گوش، منعکس‌کننده ترتیب قرارگیری آن‌ها در طول غشاء باسیلار<sup>۸</sup> در گوش داخلی است. سیگال حاصله سپس به قشر شنوایی مغز منتقل و با ترتیبی مشابه پردازش می‌شود (Talavage et al., 2004). نتایج مطالعات تصویربرداری مغز (Scott & Johnsruude, 2003, 2004) تصویری کلی از نواحی اصلی درگیر در پردازش اطلاعات گفتاری در اختیار ما می‌گذارد: به‌طور کلی، قشر شنوایی اولیه مغز<sup>۹</sup> وظيفة استخراج مشخصه‌های صوت‌شناسختی را از درون سیگال دریافتی بر عهده دارد. در مقابل، قشرهای شنوایی ثانویه که در شکنج گیجگاهی فوقانی<sup>۱۰</sup> و شیار گیجگاهی فوقانی<sup>۱۱</sup> قرار دارند، وظيفة تبدیل این مشخصات صوت‌شناسختی به بازنمایی‌های واچی<sup>۱۲</sup> را بر عهده دارند (Rauschecker 2009). درباره چگونگی توزیع این نیمکره‌های مغز هنوز بین پژوهشگران اختلافاتی وجود دارد، بعضی از آنان مانند هیکاک و پوپل (2004, 2007)، اسکات و جانسرود (2003) و اسکات و مک‌گتیکن (2013) قائل به پردازش مقارن سیگال هستند و برخی دیگر از جمله دویت و روشاکر (2012) و آبلسر و آیستر (2009) معتقدند بخش شنیداری نیمکره چپ مغز نقش اصلی را بر عهده دارد. همچنین روزبه روز بر انبویه شواهد قاطعی افزوده می‌شود که نشان می‌دهد وظیفه سپاری<sup>۱۳</sup> نواحی شنوایی برای پردازش مشخصه‌های واچی منطبق بر اصول توپوگرافی است (Talavage et al., 1982; Romani et al., 1982; Talavage et al., 2004; Saenz & Langers, 2014). یعنی نواحی شنوایی مغز انسان به صورت خوشهای نورویی تخصصی - البته با مرزهای مبهم - به صورت گزینشی به مؤلفه‌های صوت‌شناسختی محرک‌ها واکنش نشان می‌دهند. بنابراین در مورد هر محرک واجد مشخصات صوت‌شناسختی متفاوت، الگوهای طیفی - زمانی مختلفی مشاهده خواهد شد (Romani et al., 1982).



(Kaas &amp; Hacket, 2000 et al., 1995)

مطالعات انجام شده با روش مگتروانسفالوگرافی<sup>۱۴</sup> بر روی N1m (میدان مغناطیسی متضاد با سازند N1 در EEG) نیز مؤید نتایج مشابهی هستند. اما از آنجا که سازند N1 در پتانسیل وابسته به رخداد<sup>۱۵</sup> رویدادی یکپارچه نیست (Woods & Nääntänen & Picton 1982; Campbell et al. 2007; Hoonhorst et al. 2009; Ahlfors 2007; Baillet, 2017; et al., 2010) تشكیل دهنده آن و کشف همبستگی بین آنها و فرایندهای پردازشی در مغز است. هرچند روش MEG نسبت به الکتروانسفالوگرافی دارای قدرت تفکیک مکانی بالاتری است (Shen et al., 2016) و عدم تقارن نیمکرهای امواج N1m وحدت نظر ندارند، در این پژوهش‌ها منشأ پردازش‌های شنوایی به نواحی مختلفی از جمله صفحه گیجگاهی فوقانی<sup>۱۶</sup> شامل قشر شنوایی اولیه و شکنج گیجگاهی فوقانی (Oblesser et al., 2003a & b) و شیار گیجگاهی فوقانی (Eulitz et al. 2004) نسبت داده شده. مانکا و گریمالدی (2016) و گریمالدی (2012) این مسئله را به محدودیت MEG در حساسیت به مؤلفه عمودی میدان مغناطیسی مغز نسبت می‌دهند. بر این اساس آنان روش EEG را برای انجام چنین مطالعاتی پیشنهاد می‌کنند (Manca et al., 2019). در این روشی که هم به مؤلفه عمودی و هم به مؤلفه مماسی میدان‌های الکتریکی حساس است. آنان نتیجه می‌گیرند که مطالعه اجزای سازند N1 (به طور مشخص N1a و N1b) در ERP، در این روش بتواند تفکیک دقیق‌تری از مشخصات و منشأ آنها ارائه کند. اما مطالعه آنان بر روی نظام پنج واکه‌ای گویش سالنتو<sup>۱۷</sup> از زبان ایتالیایی در تعیین همبسته‌های مکانی مشخصه ارتفاع زبان ناکام می‌ماند که به نظر می‌رسد علت این ناکامی ناسازگاری واج آ (تنها واکه دارای مشخصه واجی low+ در گویش سالنتو) با هر همبستگی مفروضی است که مانکا و گریمالدی برای زیرمجموعه‌های مختلف نظام واکه‌ای این گویش طرح می‌کنند. بنابراین انجام مطالعه مشابهی بر روی نظام واکه‌ای زبان فارسی ممکن است اطلاعات بیشتری درباره همبسته‌های مکانی مشخصه‌های واجی ادراک واکه‌ای در اختیار ما بگذارد، زیرا زبان فارسی به علت داشتن شش واکه که هریک جفت آن دارای ارزش متمایزی در مشخصه ارتفاع

زبان هستند، نسبت به سالنتو هم دارای درجه تقارن بیشتری است، هم تعداد تقابل‌های دو به دوی قابل بررسی آن در مشخصه ارتفاع زبان ۵۰ درصد بیشتر است<sup>۱۸</sup>، هم درجه پیچیدگی آن بیشتر نیست (هر دو نظام واکه‌ای پنج تایی و شش تایی نیازمند اقلالاً یک مشخصه دوارزشی و یک مشخصه سه‌ارزشی برای توصیف‌اند).

### ۳. روش پژوهش

در بخش حاضر روش گردآوری داده‌ها، چگونگی و معیارهای تعیین و حذف داده‌های غیرقابل استفاده و روش پردازش داده‌ها و استخراج اطلاعات معرفی خواهد شد.

#### ۳-۱. آزمودنی‌ها

شرکت‌کنندگان در این آزمون هجده نفر گویشور فارسی‌زبان بومی ۱۹ تا ۳۵ ساله (۹ زن، میانگین سن: ۲۶.۳ سال؛ انحراف معیار ۳.۸) بودند. پیش از آزمون مراحل آزمایش به داوطلبان معرفی شد و ضمن انجام معاینه پزشکی، از آنان رضایت‌نامه اخذ شد. براساس معیارهای پرسشنامه «اندیس راستدستی ادینبورگ» (Oldfield, 1971) همه آزمودنی‌ها راستدست بودند. در هیچ‌یک از آزمودنی‌ها سابقه بیماری یا اختلالات عصب‌شناختی یا شنوایی یا سایر مشکلات عمدۀ سلامت احراز نشد. داده‌های این آزمایش در آزمایشگاه ملی نقشه‌برداری مغز ایران مستقر در دانشگاه تهران گردآوری شد.<sup>۱۹</sup>

#### ۲-۳. حرکها و روند آزمون

حرکه‌های استفاده‌شده در این آزمون شامل شش واکه ساده زبان فارسی معیار (مطابق بی‌جن‌خان، ۱۲۸۴، صص. ۹۴-۱۰۰) به علاوه یک سوت تکبسامدی ۱۰۰۰ هرتزی به عنوان حرک فریب بود. ده نمونه از هر واکه، خارج از بافت آوایی با لحنی متعارف توسط فرد بالغ مذکور و گویشور بومی زبان فارسی تلقظ و با نرخ نمونه‌برداری ضبط KHz ۴۴.۱ ضبط شد. سپس تلفظ‌های ضبط‌شده به‌وسیله نرم‌افزار پرات (Boersma & Wienik, 2011) برای شدت ۷. دسیبل نرمال شده و برشی به طول ۲۰۰ میلی‌ثانیه از هریک از آن‌ها انتخاب شد. به‌منظور کنترل اثر احتمالی تفاوت  $F_0$ ، از میان ده ضبط هر واکه پنج مورد که  $F_0$  نزدیک‌تری

به میانگین داشتند به عنوان حرک انتخاب شدند. جدول ۱ میانگین و انحراف معیار

مشخصات سازه‌ای صوت شناختی هر دسته از حرک‌ها را نشان می‌دهد.

**جدول ۱:** میانگین مشخصات طیفی حرک‌ها. یکای سنجش: هرتز، انحراف معیار درون پرانتر

**Table 1:** Average (and standard deviation) of spectral properties of the stimuli used in the experiment. Measurement unit: Hz.

F2-F1	F3	F2	F1	F0	حرک
910(±56)	2454(±84)	1605(±44)	695(±20)	117	[æ]
1527(±14)	2656(±22)	2012(±13)	484 (±7)	145	[e]
395(±12)	2732(±76)	845(±18)	450(±8)	132	[o]
464(±26)	2773(±16)	1066(±14)	692(±26)	143	[â]
2142(±40)	3149(±64)	2436(±42)	294(±5)	150	[i]
495(±30)	2882(±73)	881(±37)	386(±23)	165	[u]

بسامد سازه پایه و اول تا سوم هر حرک به صورت میانگین ناحیه زمانی ۲۵ الی ۱۷۵ میلی ثانیه در نقاطی به فاصله ۲.۰ms اندازه گیری شد. حرک فریب یعنی سوت ممتد تک بسامدی به طول ۲۰۰ms و بسامد ۱۰۰۰Hz توسط نرم افزار پرات ساخته شد. حرک‌ها با کمک رابط نرم افزاری طراحی شده در محیط E-prime 2.0 با بلندی ۷۰db پخش شد. جهت حصول اطمینان از اینکه آزمودنی‌ها قادر به تشخیص صحیح هر شش واکه فارسی با مشخصات ارائه مذکور باشند، قبل از شروع آزمون چند نمونه از هر حرک برای آنان پخش و از آنان خواسته شد، ماهیت واکه‌های شنیده شده را تأیید کنند.

### ۳-۳. روش آزمون

در طول آزمون، از آزمودنی‌ها خواسته شده بود مقابله یک صفحه نمایش رایانه‌ای نشسته و با نگاه به صفحه سیاه نمایشگر رایانه به مجموعه‌ای از حرک‌ها گوش دهند. به هر آزمودنی چهار بسته حرک ارائه شد که هر بسته شامل پنجاه تکرار از هر کدام از شش واکه فارسی و هجده تکرار از حرک فریب (سوت) بود. ترتیب پخش حرک‌ها تصادفی و فاصله بین آغاز هردو حرک متوالی، بین ۱۴۰۰ تا ۱۷۰۰ میلی ثانیه متغیر بود. مجموع زمان آزمایش برای هر نفر حدود ۳۲ الی ۳۸ دقیقه بود.

### ۴-۳. گردآوری و پیشپردازش داده‌ها

سیگنال پیوسته EEG به وسیله دستگاه G.HIAMP (شرکت G.tec) و کلاه ۲۲ کاناله با آرایش ۲۰-۱۰ استاندارد و نرخ نمونه برداری ۵۱۲ هرتز برداشت شد. کنترل بروخت داده‌ها با کمک یک صافی میانگذر ۸۰-۱۶ هرتزی و یک صافی ناچ در محدوده بسامد جریان الکتریکی برق شهری (۵۰ هرتز) انجام شد. الکترود مرجع به لاله گوش راست متصل شد و در طول آزمون مقاومت الکتریکی در محل اتصال هر الکترود به پوست سر کمتر از  $2\Omega$  نگاه داشته شد. پردازش سیگنال به دست آمده با کمک افزونه EEGLAB در محیط نرم‌افزار MATLAB 2019a انجام شد. داده‌ها با استفاده از صافی بالاگذر FIR<sup>۳</sup> هرتزی با حد تأثیر ۰.۵ هرتز و صافی پایین‌گذر ۰.۵ هرتزی با حد تأثیر ۴۹.۶۷ هرتز و فیلتر شدند. سپس سیگنال پیوسته به بازه‌هایی به طول ۱.۲ ثانیه (از ۲۰۰ میلی‌ثانیه قبل از لحظه شروع پخش هر محرک اصلی تا ۱ ثانیه پس از آن افزار شده) و میانگین شدت جریان در ۲۰۰ میلی‌ثانیه قبل از محرک در هر بازه به عنوان سطح پایه<sup>۴</sup> از کل نقاط داده در آن بازه کسر شد. آرتیفیکت‌های چشمی، ECG<sup>۵</sup> و عضلانی با کمک الگوریتم ICA<sup>۶</sup> شناسایی و از سیگنال حذف شدند (حداکثر ۴ سازند). سپس بازه‌های افقی اختلاف حداکثر و حداقل کمتر از ۲ میکروولت)، آرتیفیکت‌های پله‌ای و بازه‌های شامل اختلاف پتانسیل قله‌به‌قله با قدر مطلق بالاتر از ۱۲۰ میکروولت، را روش نیمه‌خودکار تشخیص داده شده و کنار گذاشته شدند. درنهایت اعمال این معیارهای سنجش کیفیت داده باعث شد تا به طور میانگین ۷.۲ درصد از داده‌های مربوط به هر آزمودنی از مطالعه حذف شود. ۳ نفر از آزمودنی‌ها که در آزمون ایشان سازند N1 در بازه زمانی ۸۰ تا ۱۶۰ میلی‌ثانیه پس از محرک مشاهده نشده بود از مطالعه کنار گذاشته شدند و میانگین‌گیری نهایی فقط بر روی پانزده آزمودنی انجام شد (۹ نفر زن، میانگین سن: ۲۶.۷ سال؛ انحراف معیار: ۳.۹).

### ۵-۳. روش تحلیل

با بررسی نتایج تکیک سازندهای به دست آمده از الگوریتم ICA وجود دو زیرسازند با شکل موج مشابه و اختلاف فاز حدود ۲۰ تا ۴۰ میلی‌ثانیه به‌وضوح قابل تشخیص بود. این دو زیرسازند در آزمودنی‌های مختلف به ترتیب در بازه زمانی ۱۰۰-۱۴۹ و ۱۳۵-۱۷۰ میلی‌ثانیه ظاهر می‌شدند. کانون زیرسازند اول بر الکترودهای میانی و زیرسازند دوم در الکترودهای

میانی-کناری نیمکره چپ متمرکز بود. لذا تأخیر و دامنه موج N1a با استفاده از الکترودهای Cz، میانگین FC1 و FC2 و میانگین CP1 و CP2 اندازه‌گیری شد و در مقابل اندازه‌گیری موج N1b در الکترودهای C3، میانگین FC1 و FC5 و میانگین CP1 و CP5 انجام شد. تخمین منشأ درون جمجمه‌ای زیرسازندهای متقدم و متاخر N1 و تهیه نقشه‌های سه‌بعدی توپوگرافی مربوط به آن به وسیله نرمافزار BESA2000 انجام شد. ابزارهای تحلیل زمانی - مکانی این نرمافزار تعدادی دوقطبی جریان معادل<sup>۴</sup> را به صورت مابه‌ازای توزیع پتانسیل‌های وابسته به رخداد در آرایش مورد استفاده، تولید می‌کند. موقعیت، سوگیری و روند زمانی این دوقطبی‌ها ابتدا براساس یک مدل مفروض برای توزیع دوقطبی‌ها بر روی پوست سر اندازه‌گیری و سپس این توزیع با پتانسیل‌های صوت‌برانگیخته<sup>۵</sup> حقیقی مقایسه شد. آنگاه با استفاده از تغییرات رفت‌وبرگشتی بین مدل و توزیع مشاهده شده AEP-های منفرد، مدل اصلاح شد تا درنهایت مدلی به دست آید که دارای کمترین واریانس پسماند<sup>۶</sup> نسبت به پتانسیل‌های صوت‌برانگیخته به دست آمده در آزمون تجربی باشد. خروجی این روش مختصات مکانی هر ECD به صورت سه‌تایی مرتبی بر روی محورهای «تالایراک»<sup>۷</sup> است. در این مدل به میانگین میان سوژه‌های دوقطبی‌های متناظر با AED هریک از واکه‌ها دو جفت دوقطبی (یک جفت در محدوده زمانی متناظر با N1a و دیگری در محدوده زمانی متناظر با N1b) نسبت داده شد. حد تطابق این مدل با نتایج تجربی به صورتی است که افزودن هر جفت دوقطبی سوم قابل تصوری به این مدل میزان واریانس پسماند را کمتر از ۰.۱ درصد کاهش می‌دهد. برای تحصیل اطمینان از صحت مدل‌سازی، میانگین ECD کلی بین واکه‌ای N1a و N1b با نتایج مطالعات مشابه (McDonald et al., 2003; Teder-Sälejärvi, 2002, 2005; Shnidman et al., 2009) درمورد منشأ حدودی پردازش مرتبط با موج N1 شنیداری نیز، مقایسه و تأیید شد.

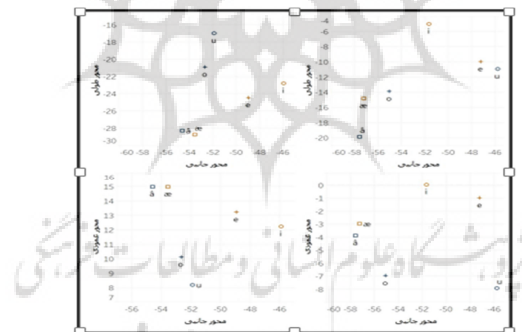
تحلیل مقادیر به دست آمده برای هریک از دو زیرسازند N1 برای هر واکه با استفاده از یک مدل واجی و یک مدل صوت‌شناختی و اعمال آزمون تعقیبی توکی<sup>۲۸</sup> (در صورت نیاز) با کمک نرم‌افزار 26 IBM SPSS انجام شد. در مدل واجی از مشخصه‌های ممیز واجی «پسین/پیشین» و «افتاده/افراشته» و در مدل صوت‌شناختی از سه متغیر پیوسته F1، F2 و F3 به عنوان تخلینگر استفاده شد. تحلیل در مدل اول با روش «مدل‌سازی خطی عام تکمتغیر» (برای متغیرهای گسسته) و در مدل دوم با تعیین ضریب همبستگی خطی پارامتری

(پرسون) انجام گرفت (برای متغیرهای پیوسته). برای مقایسه کیفیت تطابق دو مدل با داده‌ها از روش مدل‌سازی حذفی با رگرسیون خطی جفتی استفاده شد. عدم تقارن موج متأخر N1 با مقایسه میانگین دامنه نقطه اوج در ۷ الکترود در نیمکره چپ (F3, FC1, C3, CP1, CP5, FC5, F3) و راست (P3, CP6, C4, FC6, F4) سنجیده شد.

**جدول ۲:** میانگین مختصات منشأ محاسبه شده برای هر واکه در میان پانزده آزمودنی

**Table 2:** Average source location elicited per every vowel among all 15 subjects

محور عمودی		محور طولی		محور جانبی <sup>۱۰</sup>		واکه
z-N1a	z-N1a	v-N1b	v-N1a	x-N1b	x-N1a	
-۳	۱۵	-۱۵	-۲۹	-۵۷	-۵۳	[æ]
-۱	۱۳	-۱۰	-۲۴	-۴۸	-۴۹	[e]
-۷	۱۰	-۱۴	-۲۱	-۰۵	-۰۲	[o]
-۴	۱۵	-۲۰	-۲۸	-۵۷	-۵۴	[â]
۰	۱۲	-۵	-۲۳	-۵۳	-۴۶	[i]
-۸	۸	-۱۱	-۱۷	-۴۶	-۵۱	[u]



شکل ۱: توزیع مکانی منشأ زیرسازند N1a (چپ) و N1b (راست) واکهای زبان فارسی در سه بعد

**Figure 1:** 3-dimensional spatial distribution of the source locations of the Persian vowels on the cortex auditory.

#### ۴. یافته‌های آزمون

جدول ۲ و شکل ۱ به ترتیب مختصات و شمای سه بعدی حاصل از فرایند تحلیل منشأ را



به ازای هریک از شش واکه مورد آزمون نمایش می‌دهند. درمورد هر شش واکه، مختصات منشأ زیرسازند N1a در محدوده قشر شنوایی اولیه (ناحیه ۴ برودمان) به دست آمده است. در مقابل، منشأ N1b کمی پایین‌تر و خلفی‌تر بود و با مرزهای شکنج گیجگاهی فوکانی (ناحیه ۲ برودمان) تطابق داشت.

#### ۱-۴. محور جانبی

در محور جانبی، مدل صوت‌شناختی رابطه بین منشأ زیرسازند N1a و N1b و F1 و F2-F1 را تأیید می‌کند که بهترین برآش مربوط به مؤلفه F2-F1 است ( $r=0.824$ ,  $p=0$ ). این یعنی واکه‌های دارای فاصله کمتر بین سازند اول و دوم (واکه‌های پسین) دارای منشأ کناری‌تری نسبت به واکه‌های دارای F2-F1 بالا (واکه‌های پیشین) هستند. در مدل واجی نیز واکه‌های دارای مشخصه پسین به طور متوسط ۳.۶mm منشأ کناری‌تری نسبت به واکه‌های پیشین دارند ( $t(88)=-6.094$ ,  $p=0$ ), همچنین ضمن تأیید همبستگی بین ارتفاع زبان و مختصات جانبی منشأ ( $F(2,87)=31.801$ ,  $p=0$ ), نتایج آزمون آماری نشان می‌دهد که منشأ واکه‌های افراشته به طور میانگین ۳.۳mm مرکزی‌تر از واکه‌های میانی ( $p=0$ ) و منشأ واکه‌های میانی نیز ۱.۹mm نسبت به واکه‌های افراشته منشأ متمایل به مرکز است ( $p=0.013$ ).

**جدول ۳:** نتایج آزمون همبستگی بین مؤلفه جانبی مختصات منشأ پردازش واکه‌ها و مشخصات صوت‌شناختی

**Table 3:** Correlation of the lateral-medial parameter of the vowel source locations and their acoustic features.

		F1	F2	F2-F1
x-N1a	Pearson Correlation	-0.710*	0.738**	0.824*
	p-value (2-tailed)	0.000	0.000	0.000
x-N1b	Pearson Correlation	-0.650*	0.158	0.272*
	p-value (2-tailed)	0.000	0.136	0.009

درمورد زیرسازند N1b تمایز معنی‌داری بین واکه‌های پسین و پیشین یافت نشد (- $t(88)=0.753$ ,  $p=0.453$ ) اما همبستگی بین مشخصه ارتفاع زبان و مختصات منشأ موج N1b در

محور جانبی به لحاظ آماری معنی دار است ( $F(2,87) = 60.352, p=0$ ). نتیجه آزمون تعقیبی توکی تشان داد که عامل اصلی مؤثر در این تمایز واکه های افتاده هستند که منشأ بسیار کناری تری نسبت به واکه های افراشتة (۸.۷ میلی متر) و میانی (۶.۳ میلی متر) دارند. در مدل صوت شناختی نیز رابطه مختصات جانبی منشأ مطابق جدول ۳، زیرسازند N1b تنها با تخمینگر F1 رابطه دارد ( $r=-0.0650, p=0$ ) به طوری که با افزایش F1 واکه، منشأ آن به حاشیه مغز نزدیک تر می شود. براساس نتایج خام، منشأ این زیرسازند با کاهش F2 نیز تا حدی به سمت حاشیه مغز متایل می شود، اما نتایج آزمون آماری نشان می دهد این رابطه معنی دار نیست ( $r=0.158, p=0.136$ ) و عامل اصلی تمايل منشأ به سمت حاشیه یا مرکز مغز صرفًا همان F1 است.

**جدول ۴:** نتایج آزمون همبستگی بین مؤلفه طولی مختصات منشأ پردازش محركهای صوتی و مشخصات صوت شناختی

**Table 4:** Correlation of the anterior-posterior parameter of the vowel source locations and their acoustic features

		F1	F2	F2-F1
y-N1a	Pearson Correlation	-0.787*	-0.273*	-0.096
	Sig. (2-tailed)	0.000	0.009	0.366
y-N1b	Pearson Correlation	-.864*	0.677*	0.789*
	Sig. (2-tailed)	0.000	0.000	0.000

## ۲-۴. محور طولی

مطابق جدول ۴ در محور طولی مغز، محل منشأ موج N1a با هر دو مؤلفه F1 و F2 رابطه دارد، اما همبستگی آن با F2 نسبت به F1 ضعیفتر است ( $p=0.009, r=-0.273$ ). برای F2 و  $F1, r=-0.787$  ۰،  $r=-0.787$  برای F1. همچنین رابطه بین مختصات طولی منشأ زیرسازند N1a و مؤلفه F2- F1 محرك به لحاظ آماری معنی دار نیست ( $p=0.366, r=-0.096$ ). نتایج بررسی این زیرموج در مدل واجی نیز نشان می دهد که واکه های دارای مشخصه واجی پیشین به طور متوسط ۲.۳mm منشأ خلفی تری نسبت به همتایان پسین خود دارند ( $t(88)=25.450, p=0$ ). نتایج به دست آمده وجود رابطه آماری بین مشخصه ارتفاع زبان و منشأ زیرسازند N1a را نیز تأیید می کنند ( $F(2,87)= 121.980, p=0$ ). نتیجه آزمون نشان می دهد که هر سه دسته

واکه‌های افتاده، افراشته و میانی دارای منشأ متمایزی هستند، به صورتی که واکه‌های افتاده ۵.۸ میلی‌متر نسبت به واکه‌های میانی و واکه‌های میانی به طور متوسط ۲.۸ میلی‌متر نسبت به واکه‌های افراشته منشأ خلفی‌تری دارند.

در مورد زیرسازند متاخر N1 نتایج به دست آمده حاکی از این بود که رابطه بین مختصات طولی منشأ این موج و تخینگر F1 معکوس و با تخینگرهای F2 و F1 مستقیم است. این بدان معنی است که واکه‌های دارای F1 کمتر (ا و او) دارای منشأ قدامی‌تری نسبت به واکه‌های دارای F1 بیشتر (آ و ه) هستند. این رابطه در مورد دو تخینگر دیگر معکوس است و افزایش F2 (و تا حد بیشتری F2-F1) باعث حرکت منشأ موج N1 متاخر به سمت عقب ناحیه شنوایی اولیه می‌شود. در مدل واجی نیز نتایج بررسی‌های ما نشان‌دهنده این مطلب است که واکه‌های پسین نسبت به واکه‌های پیشین به طور متوسط ۵ میلی‌متر منشأ خلفی‌تری دارند ( $t(88) = 5.985, p = 0.000$ ). از سوی دیگر نتایج نشان‌دهنده اعتبار آماری این ادعای است ( $F(2,87) = 98.497, p = 0.000$ ) که منشأ واکه‌های افراشته حدود ۴ میلی‌متر نسبت به واکه‌های میانی و ۹.۴ میلی‌متر نسبت به واکه‌های افتاده قدامی‌تری است.

### ۳-۴. محور عمودی

همانطور که در جدول ۵ قابل مشاهده است، در محور عمودی مختصات مغز، محل منشأ زیرسازند متقدم N1 با F1 (و به شکل ضعیف‌تری با F2) تناسب مستقیم دارد و رابطه آن با مؤلفه F2-F1 به سطح معنی‌داری آماری نمی‌رسد، اما منشأ زیرسازند متاخر N1a با F2 (و به تبع آن با F2-F1) رابطه مستقیم دارد و نسبت به F1 حساسیتی نشان نمی‌دهد.

جدول ۵: نتایج آزمون همبستگی بین مؤلفه عمودی مختصات منشأ پردازش حرکه‌های صوتی و مخصوصات صوت‌شنایی

**Table 5:** Correlation of the superior-inferior parameter of the vowel source locations and their acoustic features

		F1	F2	F2-F1
z-N1a	Pearson Correlation	0.707*	0.382*	0.215
	p-value (2-tailed)	0.000	0.008	0.042

		F1	F2	F2-F1
z-N1b	Pearson Correlation	-0.024	0.940*	.875*
	p-value (2-tailed)	0.824	0.000	.000

نتایج همچنین به طرز مشابهی نشان می‌دهند که مؤلفه عمودی مختصات منشأ N1a تنها با مشخصه ارتفاع زبان رابطه‌ای معنی‌دار دارد (منشأ واکه‌های افتاده، میانی و افراشته به ترتیب از ناحیه فوکانی قشر شنوایی به سمت ناحیه تحتانی آن چیده شده‌اند). در مقابل آزمون آماری موفق به تأیید وجود رابطه مؤلفه عمودی منشأ N1b با ارتفاع زبان در نتایج ثبت‌شده در این آزمایش نمی‌شود ( $F(2,87) = 0.331, p = 0.719$ ) و فقط وجود ارتباط بین مؤلفه عمودی منشأ و مشخصه محل تولید را تأیید می‌کند. براساس نتایج به دست آمده، منشأ زیرسازند عصبی N1b مرتبط با واکه‌های پسین به‌طور میانگین  $5\text{ mm}$  پایین‌تر از واکه‌های پیشین است  $(t(88) = -15.387, p = 0)$ .

## ۵. بحث و نتیجه‌گیری

دو زیرسازند تفکیک شده سازند N1 شنوایی در این آزمون در فرایند منشأ‌یابی به‌طور کاملاً متمایزی هم منشأ‌های متقاوی از خود بروز دادند و هم تأثیر مشخصات محرك بر تغییر مکان این منشأ‌ها کاملاً متفاوت بود. در مورد تمایز نخست، نتایج این پژوهش نشان می‌دهد که منشأ زیرسازند N1a همواره خلفی‌تر، فوکانی‌تر و کمی میانی‌تر از N1b است<sup>۳</sup>. در مورد زیرسازند دوم داده‌های به دست آمده نشان می‌دهند زیرسازند اول یعنی N1a در مختصاتی حدود  $\pm 44$  تا  $\pm 57$  میلی‌متر (مثبت مربوط به نیمکره راست و منفی نیمکره چپ) در محور جانبی،  $-30$  تا  $-15$  در محور طولی و  $6$  تا  $16$  در محور عمودی پدیدار می‌شود و در مقابل منشأ زیرسازند متأخر یعنی N1b در محدوده  $44 \pm 61$  تا  $21 \pm 61$  در محور جانبی،  $-4$  تا  $-21$  در محور طولی و  $0$  تا  $-8$  در محور عمودی ظهر می‌کند. این دو محدوده به ترتیب تطبیق بسیار دقیقی با میانگین مختصات تالایراک ذکر شده در منابع برای برای نواحی «قرش شنوایی اولیه» (A1) و «شکنج گیجگاهی فوکانی» (STG) دارند. چنین نتیجه‌های به خوبی ابهام موجود در مطالعات انجام شده در حوزه مکانیابی منشأ با روش MEG را برطرف می‌کند. هرچند به دلیل

ضعف ذاتی قدرت تفکیک مکانی روش EEG باید اعداد به دست آمده در نتایج تعیین منشأ را با چاشنی احتیاط پذیرفت، اما یکدستی تطابق منشأ دو زیرسازند N1a و N1b با این دو ناحیه از مغز می‌تواند توضیح مناسبی برای سردرگمی مطالعات MEG درباره منشأ سازنده N1m (همتای مغناطیسی میدان الکتریکی ایجادکننده N1) باشد که گاهی این موج را برآمده از STG و گاهی A1 می‌دانند (نک. نتایج Teder-Sälejärvi et al., 2002 & McDonald et al., 2003؛ Weise et al., 2005).

نتیجه پژوهش حاضر این نکته را خاطر نشان می‌کند که احتمالاً هردو گروه از مطالعات MEG موفق به دستیابی به منشأ N1m (با دستکم بخشی از آن) شده‌اند، اما به دلیل ضعف روش مغناطیسی در ثبت بردارهای میدان موازی سطح گیرنده‌ها موفق به ثبت و تفکیک هردو منشأ نشده‌اند. مطالعات پیشین (Manca et al., 2019; Manca & Grimaldi, 2016) همچنین نشان می‌دادند که دوقطبی‌های جریان معادل به دست آمده از تحریک ناحیه شنوایی مغز به‌وسیله واکه‌های ساده، با هردو گروه مشخصه‌های صوت‌شناسخی و واژی رابطه دارند که در مطالعه حاضر نیز این مطلب تأیید شده است، اما در این پژوهش نتایج روش مدل‌سازی حذفی با رگرسیون خطی جفتی نشان می‌دهد که به استثنای بیچیدگی یافتشده در مورد رابطه مؤلفه عمودی منشأ با مشخصات صوت‌شناسخی و واژی واکه‌ها، مؤلفه‌های جانبی و طولی همواره در مدل واژ‌شناسخی بهتر از مدل صوت‌شناسخی برآورده شده‌اند. با این حال میزان برتری کارایی مدل واژی در پیش‌بینی منشأ عصب‌شناسخی واکه‌ها همواره در مورد N1a کمتر از N1b است. مطلوبی که حتی درباره مؤلفه عمودی نیز صدق می‌کند. کارایی بیشتر مدل مبتنی بر مشخصه‌های واژی در توصیف پاسخ‌های نورولوژیک با منشأ A1 در راستای یافته‌های یک دهه اخیر سایر پژوهشگران (برای موردن تأیید این پژوهش نک. Bernal Weinberger, 2015؛ Ardila, 2016؛ & Ardis, 2016) است که فرض رایج در انحصار ناحیه شنوایی اولیه به «تحلیل حسی»<sup>۳۲</sup> و استقلال فرایندهای تحلیل این ناحیه از برگستگی‌های شناختی الکتسابی<sup>۳۳</sup> را زیر سؤال می‌برد. به‌طور خلاصه به‌نظر می‌رسد که ناحیه شنوایی اولیه و پاسخ‌های ثبت شده در آن، بازتاب‌دهنده هر دو دسته مشخصه‌های مادی و انتزاعی اصوات زبان باشند<sup>۳۴</sup> و سپس تمرکز بار پردازشی بر روی بازشناسی مقوله‌ای (و تبعاً افزایش برتری کارایی مدل واژی به مدل صوت‌شناسخی) با عبور از A1 به STG افزایش یابد. وجود چنان همبستگی وثیقی بین مشخصه‌های انتزاعی واژی

و مشخصات مکانی پاسخ عصبی و این مشاهده که در اکثر موارد این همبستگی حتی از رابطه بین ویژگی‌های پاسخ عصبی و مشخصات صوت‌شنایتی و فیزیکی صرف محرك ورودی به لحاظ آماری قوی‌تر است، مؤید دسترسی مستقیم قشر شنوایی اولیه مغز به این مشخصات واچی - مقوله‌ای است. این امر در کنار افزایش بیش‌ازپیش برتری همبستگی بین مشخصات مکانی منشأ پاسخ عصبی و مشخصه‌های واچی نسبت همبستگی آن‌ها با مشخصات صوت‌شنایتی با گذشت زمان و عبور پردازش از قشر شنوایی اولیه به STG شاهدی به نفع فرضیه اصلی پژوهش حاضر است که تشخیص و بازشناسی مشخصه‌های انتزاعی توصیف‌گر نظام واکه‌ای زبان و مقوله‌بندی محرك‌های ورودی براساس این بازشناسی، از همان مرحله پردازش در قشر شنوایی اولیه و هم‌مان و به موازات پردازش حسی آغاز می‌شود و فرایند تفکیک ادراکی واکه‌ها از یکدیگر در مغز گویشوران حاصل روندی تدریجی از نشان‌گذاری براساس برجستگی‌های صوت‌شنایتی تا مقوله‌بندی مشخصات واچی است. در چنین فرایندی این دو عملکرد به صورت هم‌zman و موازی از همان ناحیه شنوایی اولیه آغاز می‌شود، اما با انتقال به شکنج گیجگاهی فوقانی تدریجیاً از مرکز بار پردازش عصبی بر روی نشان‌گذاری مشخصه‌های فیزیکی صوت کاسته و بر پردازش مقوله‌ای مبتنی بر خوش‌های چندارزشی واچ‌شنایتی افزوده می‌شود.<sup>۳۰</sup> چنین نتیجه‌ای ناقض پیش‌بینی دیدگاه سنتی اختصاص نواحی حسی اولیه مغز به پردازش حسی صرف و مؤید نظریه پردازش موازی خواهد بود که طبق آن تشخیص و بازشناسی مشخصه‌های انتزاعی توصیف‌گر نظام واکه‌ای و مقوله‌بندی محرك‌های ورودی براساس این بازشناسی از همان مرحله پردازش در قشر شنوایی اولیه آغاز و به موازات پردازش حسی انجام می‌شود.

## ۶. پی‌نوشت‌ها

1. Decryption
2. Tonotopic
3. Cell clusters
4. pure sensory analysis
5. somatosensory
6. neuro-anatomic
7. spectral window
8. basilar membrane

9. primary auditory cortex (A1)
10. superior temporal gyrus (STG)
11. superior temporal sulcus (STS)
12. Phonological representations
13. Localization
14. magnetic-encephalography(MEG)
15. event-related potentials (ERP)
16. superior temporal plane
17. Salento Italian

۱۸. در نظام واکه‌ای پنج تایی گویش سالنتو هر واکه افراشته یا میانی نسبت به سه واکه دیگر در مشخصه ارتفاع زبان تقابل قطبی دارد و تنها واکه افتاده آن با چهار واکه دیگر (مجموعاً هشت تقابل). در نظام واکه‌ای شش تایی زبان فارسی هریک از شش واکه با چهار واکه دیگر در این مشخصه تقابل قطبی دارد (مجموعاً دوازده تقابل).

۱۹. کمیة اخلاق در پژوهش‌های زیستپزشکی دانشگاه علوم پزشکی ایران تطابق روال اجرایی پیشنهادی این آزمایش با اعلامیه هلسينکي را در مصوبه شماره ۱۳۹۸.۴۶۸ IR.IUMS.REC تأیید کرده است.

20. finite impulse response
21. baseline
22. Electrocardiogram
23. Independent Component Analysis
24. Equivalent Current Dipoles (ECD)
25. Auditory Evoked Potentials (AEP)
26. Residual variance
27. Talairach
28. Tukey's post-hoc test

۲۹. مختصات و ضریب همبستگی گزارش شده در محور جانبی (X) مربوط به دوقطبی‌های منشأ منتبه به نیمکره چپ است. بدیهی است که دوقطبی‌های منتبه به نیمکره راست دارای مختصاتی کاملاً مشابه اما قرینه است. برای دستیابی به مختصات جانبی و ضریب همبستگی مربوط به آنها کافی است اعداد گزارش شده در این مقاله در ۱- ضرب شود.

۳۰. در سراسر این مقاله هنگام گزارش نتایج آزمون‌های آماری، سطح معنی داری  $p < 0.01$  درنظر گرفته شده و رابطه‌های دارای معنی داری آماری در جداول با نماد «\*» مشخصه شده‌اند. همچنین،  $p$ -value‌های بدست آمده تنها تا سه رقم اعشار گزارش شده‌اند. بنابراین مقادیر کمتر از 0.0005 (یک بیستم حد نصاب معنی داری) به منظور تسهیل در قرائت به صورت  $p = 0$  درج شده‌اند.

۳۱. که البته با توجه به شکل تقریباً نیمکره‌ای مغز انسان و این حقیقت که در اشیایی با چنین شکلی با

حرکت از صفحه استوایی به سمت بالا قطر صفحات عمود بر محور عمودی کاهش می‌یابد، این مشاهده اخیر امری بدیهی به نظر می‌رسد و معادل گزاره «منشأ هردو زیرسازند در قشر بیرونی مخ قرار دارد» است.

#### ۲۲. sensory analysis.

۲۳. نگارندگان امیدوارند خوانندگان محترم نسبت به این مسئله شباهی نداشته باشند که این دانش در اختیار فارسی‌زبانان که برای مثال واژ ۵ یکی از اجزای زبان فارسی است که نقشی متمایز با آ دارد، امری اکتسابی است و در مقابل، این‌که ما صدای شکستن شیشه را مقاومت از صدای سوت قطار می‌شنویم، امری ذاتی است به معنای این‌که این ادراک مقاومت بخشی از معماری عصبی دستگاه شناختی ما آدمیان است.

۲۴. این تفسیر با نتایج بدست آمده در مطالعات آسیب‌شناسی مغز نیز تطابق دارد. برودی و همکاران (2013) مواردی را مطالعه کرده‌اند که بخی بیماران دچار آسیب‌های جزئی در ناحیه A1 همچنان قادر به تشخیص اصوات غیرزبانی و تشخیص کلی اصوات زبانی مشکلی ندارند، اما از تفکیک در زوج محرک‌های زبانی دارای تمایز واجی (مانند تمایز بین زوج همخوان‌های انسدادی واکدار و بی‌واک) ناتوان اند.

۲۵. درنهایت باید مذکور شد که با توجه به محدودیت روش EEG در تفکیک دقیق مختصات مکانی امواج به‌علت تراکم پایین حسگرهای مورد استفاده، نقشه سه‌بعدی جای‌تواخت پردازش واکه‌های زبان مادری در قشر شناوری مخ را نمی‌توان به عنوان راهنمای کشف منشأ هریک از واکه‌های زبان در سطح مغز به‌کار برد، بلکه تفسیر صحیح‌تر این است که این نقشه، تصویری از تابع توزیع احتمال سپرده شدن پردازش واکه‌ها به‌ازای مشخصه‌های واجی آنان به هریک از خوش‌های یاخته‌ای ناحیه شناوری و نشان‌دهنده این است که این توزیع در همبستگی با مشخصه‌های واجی و صوت‌شناختی از چه روندهای ترجیحی پیروی می‌کند.

## ۷. منابع

- بی‌جن‌خان، م. (۱۳۸۴). واج‌شناسی: نظریه بهینگی. تهران: سازمان مطالعه و تدوین کتب علوم انسانی دانشگاه‌ها (سمت)، مرکز تحقیق و توسعه علوم انسانی.
- نصری، ع.، و کریمی دوستان، غ. (۱۳۹۹). شواهد الکتروانسفالوگرافیک بازنمایی عصب‌شناختی مشخصه‌های آوایی و واجی واکه‌های زبان فارسی در قشر شناوری مغز. پژوهش‌های زبانی، ۱۱(۲)، ۲۲۳-۲۴۵.

## References

- Ahlfors, S. P., Han, J., Belliveau, J.W., & Hamalainen, M. S. (2010). Sensitivity of MEG and EEG to source orientation. *Brain Topography*, 23, 227-232.
- Baillet, S. (2017). Magnetoencephalography for brain electrophysiology and imaging. *Nature Neuroscience*, 20, 327-339.
- Bernal, B., & Ardila, A. (2016). From hearing sounds to recognizing phonemes: Primary auditory cortex is a truly perceptual language area. *AIMS Neuroscience*, 3(4), 454-473.
- Bijankhan, M. (2005). *Phonology: Optimality Theory*. Samt. [in Persian].
- Boersma, P., & Weenink, D. (2011). Praat: doing phonetics by computer (Computer program), Version 5.2.
- Brody, R.M., Nicholas, B.D., Wolf, M.J., Marcinkevich, P.B., & Artz, G.J. (2013). Cortical deafness: A case report and review of the literature. *Otology and Neurotology*, 34, 1226-1229.
- Campbell, T., Winkler, I., & Kujala, T. (2007). N1 and the mismatch negativity are spatiotemporally distinct ERP components: disruption of immediate memory by auditory distraction can be related to N1. *Psychophysiology*, 44, 530-540.
- DeWitt, I., & Rauschecker, J. P. (2012). Phoneme and word recognition in the auditory ventral stream. *Proceedings of the National Academy of Sciences United States of America*, 109, 505-514.
- Embick, D., & Poeppel, D. (2015). Towards a computational(ist) neurobiology of language: Correlational, integrated, and explanatory neurolinguistics. *Language and Cognitive Neuroscience*, 30, 357-366.
- Eulitz, C., Obleser, J., & Lahiri, A. (2004). Intra-subject replication of brain magnetic activity during the processing of speech sounds. *Cognitive Brain Research* 19, 82-91.
- Gage, N., Poeppel, D., Roberts, T., & Hickok, G. (1998). Auditory evoked M100 reflects onset acoustics of speech sounds. *Brain Research* 814, 236-239.

- [ Downloaded from lrr.modares.ac.ir on 2023-07-17 ] [ DOR: 20.1001.1.23223081.1401.0.107.9 ] [ DOI: 10.29252/LRR.14.2.12 ]
- Grimaldi, M. 2012. Toward a neural theory of language: Old issues and new perspectives. *Journal of Neurolinguistics*, 25, 304-327.
  - Grimaldi, M., Sigona, F., & di Russo, F. (2016). Electroencephalographic evidence of vowels computation and representation in human auditory cortex, In A.M. di Sciullo (Ed.) *Biolinguistic Investigations on the Language Faculty* (79-100), Amsterdam: John Benjamins.
  - Hadjikhani, N., Liu, A.K., Dale, A.M., Cavanagh, P., & Tootell, R.B.H. (1998). Retinotopy and color sensitivity in human visual cortical area V8. *Nature Neuroscience*, 1, 235-241.
  - Hickok, G., & Poeppel, D. (2004). Dorsal and ventral streams: a framework for understanding aspects of the functional anatomy of language. *Cognition*, 92, 67-99.
  - Hickok, G., & Poeppel, D. (2007). The cortical organization of speech processing. *Nature Reviews Neuroscience*, 8, 393-402.
  - Hoonhorst, L., Collin, C., Markessis, E., Radeau, M., Deltenre, P., & Sernicale, W. (2009). The N100 component: an electrophysiological cue of voicing perception, In S. Fuchs, H. Loevenbruck, D. Pape and P. Perrier (Eds.) *Some aspects of speech in brain* (5-34) Bern: Peter Lang Verlagsgruppe.
  - Kaas, J.H., & Hackett, T.A. (2000). Subdivisions of auditory cortex and processing streams in primates. *Proceedings of the National Academy of Sciences U.S.A.*, 97, 11793-11799.
  - Manca, A. D., & Grimaldi, M. (2016). Vowels and consonants in the brain: Evidence from magnetoencephalographic studies on the N1m in normal-hearing listeners. *Frontiers in Psychology*, 7, 1413.
  - Manca A.D., DiRusso, F., Sigona, F., & Grimaldi, M. (2019). Electrophysiological evidence of phonemotopic representations of vowels in the primary and secondary auditory cortex. *Cortex*, 121, 385-398.
  - McDonald, J.J., Teder-Sälejärvi, W.A., DiRusso, F., & Hillyard, S.A. (2003). Neural substrates of perceptual enhancement by cross-modal spatial attention. *Journal of*

Cognitive Neuroscience, 15, 10-19.

- Mesgarani, N., Cheung, C., Johnson, K., & Chang, E.F. (2014). Phonetic feature encoding in human superior temporal gyrus. *Science*, 343, 1006-1010.
- Nasri, A., & Karimidoustan, Gh. (2020). Electrophysiological evidence of neurological representations of the phonological and phonetic properties of Persian vowels in the auditory cortex. *Language Research*, 11(2), 223-245. [In Persian].
- Näätänen, R., & Picton, T. (1987). The N1 wave of the human electric and magnetic response to sound: A review and analysis of the component structure. *Journal of Psychophysiology*, 24, 375-425.
- Obleser, J., Elbert, T., Lahiri, A., & Eulitz, C. (2003a). Cortical representation of vowels reflects acoustic dissimilarity determined by formant frequencies. *Cognitive Brain Research*, 15, 207-213.
- Obleser, J., Lahiri, A., & Eulitz, C. (2003b). Auditory-evoked magnetic field codes place of articulation in timing and topography around 100 milliseconds post syllable onset. *Neuroimage*, 20, 1839-1847.
- Obleser, J., Lahiri, A., & Eulitz, C. (2004). Intra-subject replication of brain activity during the processing of speech sounds. *Cognitive Brain Research*, 19, 82-91.
- Obleser, J., & Eisner, F. (2009). Pre-lexical abstraction of speech in the auditory cortex. *Trends in Cognitive Sciences*, 13, 14-19.
- Ohl, F.W., & Scheich, H. (1997). Orderly cortical representation of vowels based on formant interaction. *Proceedings of the National Academy of Sciences U.S.A.* 94, 9440-9444.
- Oldfield, R.C. (1971). The assessment and analysis of handedness: The Edinburgh inventory. *Neuropsychologia*, 9, 97-113.
- Panetev, C., Bertrand, O., Eulitz, C., Verkindt, C., Hampson, S., Schuierer, G., & Elbert, T. (1995). Specific tonotopic organizations of different areas of the human auditory cortex revealed by simultaneous magnetic and electric recordings. *Electroencephalography and clinical neurophysiology*, 94, 26-40.

- Poeppel, D., Phillips, C., Yellin, E., Rowley, H.A., Roberts, T.P.L., & Marantz, A. (1997). Processing of vowels in supratemporal auditory cortex. *Neuroscience Letters*, 221, 145-148.
- Pons, T.P., Garraghty, P.E., Friedman, D.P., & Mishkin, M. (1987). Physiological evidence for serial processing in somatosensory cortex. *Science* 237, 417-420.
- Riedinger, M., Nagels, A., Werth, A., & Scharinger, M. (2021). Asymmetries in assessing vowel representation are driven by phonological and acoustic properties: Neural and behavioral evidence from natural German minimal pairs. *Frontiers in Human Neuroscience*. 15, 1-20.
- Rauschecker, J.P., & Scott, S.K. (2009). Maps and streams in the auditory cortex: Nonhuman primates illuminate human speech processing. *Nature Neuroscience*, 12, 718-724.
- Romani, G.L., Williamson, S.J., & Kaufman, L. (1982). Tonotopic organization of the human auditory cortex. *Science*, 216, 1339-1340.
- Saenz, M., & Langers, D.R.M (2014). Tonotopic mapping of human auditory cortex. *Hearing Research*, 307, 42-52.
- Scharinger, M., Idsardi, W.J., & Poe, S. (2011). A Comprehensive 3-dimensional Cortical Map of Vowel Space. *Journal of Cognitive Neuroscience*, 23, 3972-3982.
- Scott, S.K., & Johnsrude, I.S. (2003). The neuroanatomical and functional organization of speech perception. *Trends in Neurosciences*, 26, 100-107.
- Scott, S.K., & McGettigan, C. (2013). Do temporal processes underlie left hemisphere dominance in speech perception? *Brain and Language*, 127, 36-45.
- Shestakova, A., Brattico, E., Soloviev, A., Klucharev, V., & Huotilainen, M. (2004). Orderly cortical representation of vowel categories presented by multiple exemplars. *Cognitive Brain Research*, 21, 342-350.
- Stevens, K.N. (1998) *Acoustics phonetics* (Vol.30). Cambridge, MA: MIT Press.
- Stevens, K.N. (2002). Toward a model for lexical access based on acoustic landmarks and distinctive features. *Journal of Acoustical Society of America*, 111,

1872-1891.

- Talavage, T.M., Sereno, M.I., Melcher, J.R., Ledden, P.J., Rosen, B.R., & Dale, A.M. (2004). Tonotopic organization in human auditory cortex revealed by progressions of frequency sensitivity. *Journal of Neurophysiology*, 91, 1282-1296.
- Tanriverdi, T., Al-Jehani, H., Poulin, N., & Olivier, A. (2009). Functional results of electrical cortical stimulation of the lower sensory strip. *Journal of Clinical Neuroscience* 16, 1188-1194.
- Teder-Sälejärvi, W.A., DiRusso, F., McDonald, J.J., & Hillyard, S.A. (2005). Effects of spatial congruity on audio-visual multimodal integration. *Journal of Cognitive Neuroscience*. 17, 1396-1409.
- Teder-Sälejärvi, W.A., McDonald, J.J., DiRusso, F., & Hillyard, S.A. (2002). An analysis of audio-visual crossmodal integration by means of event related potential (ERP) recordings. *Cognitive Brain Research*. 14, 106-114.
- Wandell, B.A., Brewer, A.A., & Dougherty, R.F. (2005). Visual field map clusters in human cortex. *Philosophical Transactions* 360, 693-707.
- Weinberger, N.M. (2015). New perspective in the auditory cortex: Learning and memory. In G. Hickok and G.C. Celesia (Eds.), *handbook of Clinical Neurology*. 129, 117-147. Amsterdam: Elsevier.
- Weise, A., Schröger, E., & Horváth, J. (2018). The detection of higher order acoustic transitions is reflected in the N1 ERP. *Psychophysiology*, 55(7), e13063.
- Woods, D.L. (1995). The component structure of N1 wave of the human auditory evoked potential. *Electroencephalography and Clinical Neurophysiology* 44, 102-109.